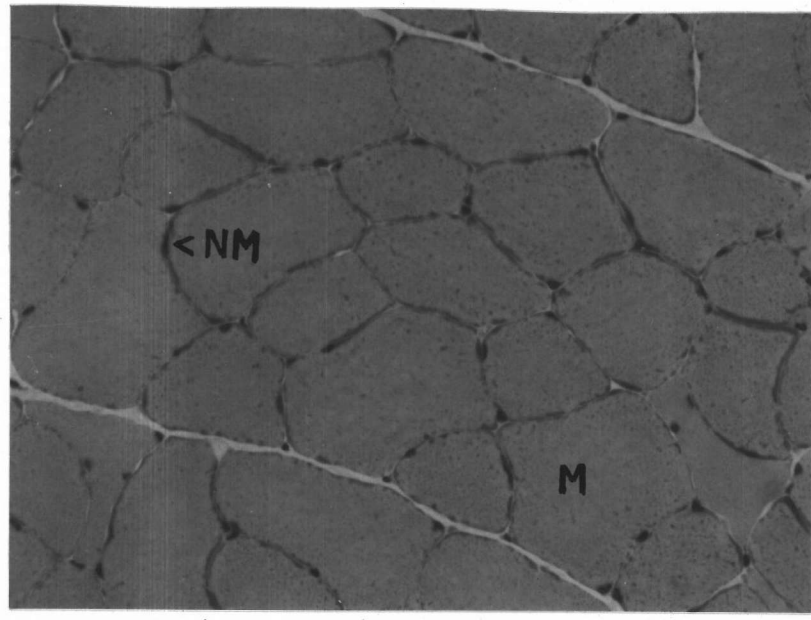


บทที่ 4

ผลการทดลอง

กลุ่ม control

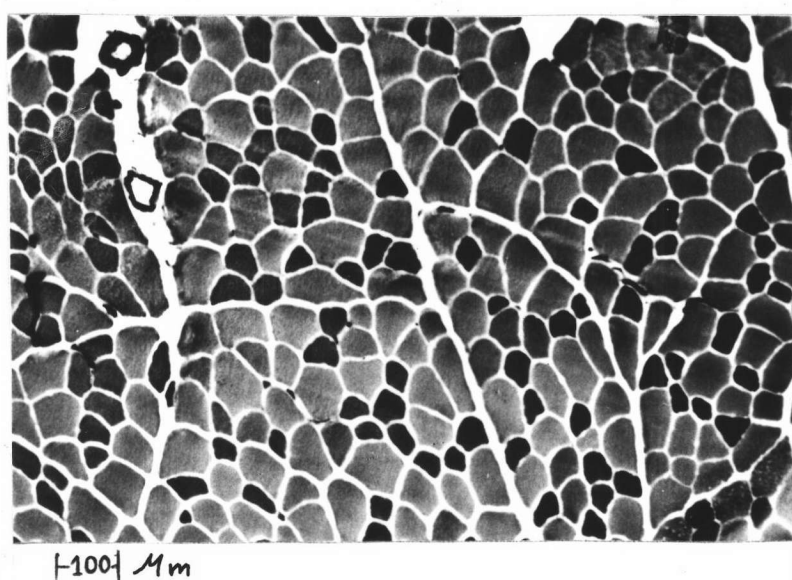
จากการศึกษากล้ามเนื้อ Tibialis anterior ในหนูแรกปกติจำนวน 5 ตัว น้ำหนักหนูเฉลี่ย 347 ± 4.12 กรัม น้ำหนักกล้ามเนื้อเฉลี่ย 0.44 ± 0.02 กรัม, เส้นรอบวงกล้ามเนื้อเฉลี่ย 2.52 ± 0.13 เซนติเมตร (จากตารางที่ 1) ตัดชิ้นเนื้อตามยาว ข้อมด้วย H&E (ภาพที่ 16) พบว่า เชลล์ของกล้ามเนื้อมีลักษณะหลายเหลี่ยม (polygonal) ออยู่เรียงชิดติดกัน (mosaic) ไม่เห็นช่องว่างระหว่างเชลล์ นิวเคลียสในแต่ละเชลล์มีมากกว่าหนึ่งอันอยู่ที่ผิวปั๊ดเจนใต้ sarcolemma (sarcolemmal nuclei) ลักษณะของนิวเคลียสเป็นรูปไข่แบนยาว (flat, elongate) และอยู่ห่างกัน ขนาดของเส้นใยกล้ามเนื้อมีขนาดใหญ่ และจากการข้อมชิ้นเนื้อตัวยเทคโนโลยี ATPase pH 9.5 (รูปที่ 17) พบว่าเชลล์ของกล้ามเนื้อที่ข้อมด้วยเทคนิคนี้สามารถแยก type ของกล้ามเนื้อมองเห็นได้เป็น 2 type โดย type I จะติดสีจาง type II จะติดสีเข้ม ลักษณะของเชลล์กล้ามเนื้อมีลักษณะหลายเหลี่ยม โดยพบจำนวนเส้นใยของ type I ทั้งหมด 57.04% และ type II 42.96% (จากตารางที่ 3) โดยมีค่าเฉลี่ยของเส้นผ่าศูนย์กลางของ type I เท่ากับ $59.41 \pm 3.65 \mu\text{m}$ (วัดจาก 1,000 เส้นใย) ค่าเฉลี่ยของเส้นผ่าศูนย์กลางของ type II เท่ากับ 34.35 $\pm 8.03 \mu\text{m}$ (วัดจาก 1,000 เส้นใย) (จากตารางที่ 2)



รูปที่ 16 ภาพตัดตามขวางของกล้ามเนื้อ Tibialis anterior ของหนูปักติ

ข้อมูลวิธี H&E x 40 M = muscle fiber

NM = nucleus of muscle



รูปที่ 17 ภาพตัดตามขวางของกล้ามเนื้อ Tibialis anterior ของหนูปักติ

ข้อมูลวิธี ATPase pH 9.5 x 10 สีขาว - type I

สีเข้ม - type II

ตารางที่ 1

ตารางแสดงน้ำหนักของหนังทึบหมด, น้ำหนักกล้ามเนื้อ Tibialis anterior
และเส้นรอบวงของกล้ามเนื้อ Tibialis anterior

กลุ่ม	น้ำหนักตัวหนู (g)	น้ำหนักกล้ามเนื้อ [*] (g)	เส้นรอบวงของกล้ามเนื้อ [*] (c.m.)
<u>control</u>			
1	344	0.42	2.4
2	342	0.42	2.4
3	350	0.45	2.6
4	352	0.47	2.7
5	347	0.44	2.5
$\bar{X} \pm SD$	347.00 ± 4.12	0.44 ± 0.02	2.52 ± 0.13

ตารางที่ 1 (ต่อ)

กลุ่ม	น้ำหนักตัวหนู (g)	น้ำหนักกล้ามเนื้อ [*] (g)	เส้นรอบวงของกล้ามเนื้อ [*] (c.m.)
<u>denervated</u>			
1	399	0.16	0.9
2	403	0.17	1.0
3	407	0.17	1.0
4	411	0.18	1.1
5	397	0.16	0.9
$\bar{X} \pm SD$	403.40 \pm 5.72	0.17 \pm 0.01	0.98 \pm 0.08
<u>E.S.</u>			
1	395	0.39	2.0
2	403	0.41	2.2
3	398	0.39	2.0
4	407	0.41	2.2
5	419	0.43	2.4
$\bar{X} \pm SD$	404.40 \pm 9.37	0.40 \pm 0.02	2.16 \pm 0.16

ตารางที่ 1 (ต่อ)

กลุ่ม	น้ำหนักตัวหนู (g)	น้ำหนักกล้ามเนื้อ [*] (g)	เส้นรอบวงของกล้ามเนื้อ [*] (c.m.)
<u>laser</u>			
1	412	0.18	1.0
2	416	0.19	1.1
3	397	0.16	1.0
4	403	0.17	1.0
5	393	0.16	1.0
$\bar{X} \pm SD$	404.20 ± 9.73	0.17 ± 0.01	1.02 ± 0.04

ตารางที่ 2

ตารางแสดงค่าเฉลี่ยของเส้นผ่าศูนย์กลางของกล้ามเนื้อ Tibialis anterior

type I และ type II และจำนวนเส้นไข่ ที่วัดในแต่ละกลุ่มการทดลอง

กลุ่ม	ตัวที่	Type I			Type II		
		range	เส้นผ่าศูนย์กลาง (μm)	จำนวน เส้นไข่ทั้งหมด	range	เส้นผ่าศูนย์กลาง (μm)	จำนวน เส้นไข่ทั้งหมด
control	1	20-80	55.14 \pm 5.74	200	10-30	20.42 \pm 4.79	200
	2	20-80	58.70 \pm 9.50	200	20-40	35.50 \pm 7.46	200
	3	20-80	59.55 \pm 7.56	200	20-40	38.66 \pm 6.23	200
	4	20-80	65.22 \pm 7.75	200	20-40	40.62 \pm 6.31	200
	5	20-80	58.45 \pm 9.14	200	20-40	36.55 \pm 7.97	200
$\bar{X} \pm SD$		59.41 \pm 3.65		1,000	34.35 \pm 8.03		1,000
denervated	1	-	-	-	5-10	7.02 \pm 2.45	200
	2	-	-	-	5-15	10.05 \pm 2.29	200
	3	-	-	-	5-20	11.05 \pm 6.48	200
	4	-	-	-	5-20	11.67 \pm 5.97	200
	5	-	-	-	5-10	7.22 \pm 3.59	200
$\bar{X} \pm SD$						9.40 \pm 2.16	1,000

ตารางที่ 2 (ต่อ)

กลุ่ม	ตัวที่	Type I				Type II			
		range	เส้นผ่าศูนย์กลาง (μm)	จำนวน เส้นไขทวัต	range	เส้นผ่าศูนย์กลาง (μm)	จำนวน เส้นไขทวัต		
<u>E.S.</u>	1	20-30	24.38 ± 6.78	200	20-40	29.90 ± 8.12	200		
	2	20-40	27.96 ± 4.29	200	20-40	35.10 ± 7.14	200		
	3	40-60	48.00 ± 6.95	20	10-40	31.85 ± 6.96	200		
	4	5-20	11.43 ± 4.40	200	5-70	36.45 ± 7.81	200		
	5	40-60	43.10 ± 9.15	99	20-70	40.10 ± 4.22	200		
	$\bar{X} \pm SD$		30.97 ± 14.76	719		34.68 ± 3.98	1,000		
<u>Laser</u>	1	10-20	15.00 ± 6.88	20	10-20	11.82 ± 4.42	200		
	2	10-20	16.14 ± 6.86	15	10-20	12.06 ± 5.10	200		
	3	10-20	17.50 ± 5.49	18	10-15	10.35 ± 8.63	200		
	4	10-20	15.00 ± 7.72	9	10-15	11.12 ± 5.37	200		
	5	-	-	-	10-15	10.15 ± 4.46	200		
	$\bar{X} \pm SD$		15.91 ± 1.88	62		11.10 ± 0.85	1,000		

ตารางที่ 3

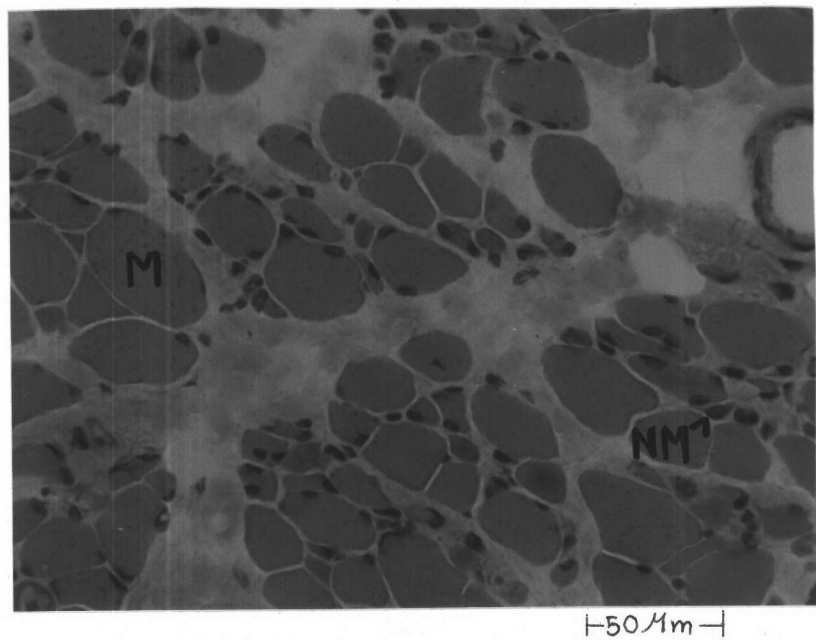
ตารางแสดง % ของจำนวนเส้นไข type I และ type II

ของกล้ามเนื้อในแต่ละกลุ่ม

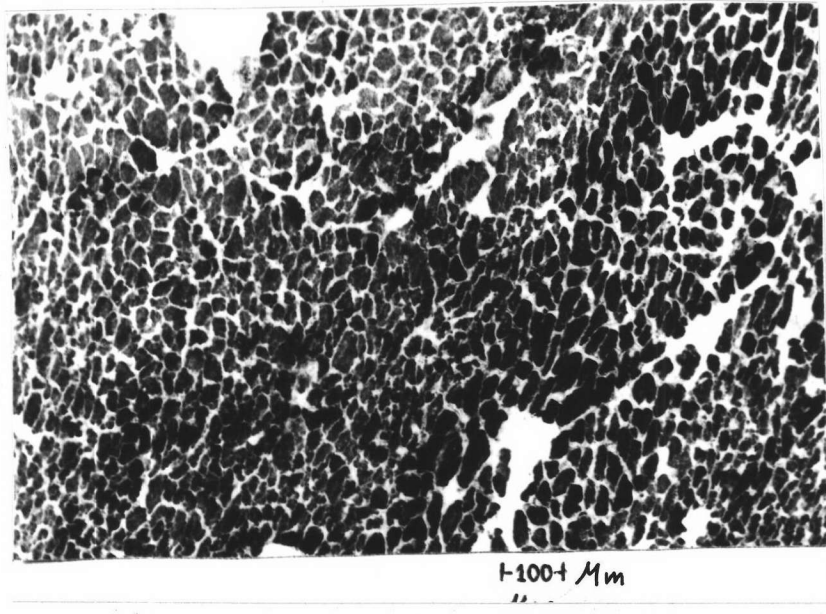
กลุ่ม	% ของ type I	% ของ type II
control	57.04	42.96
denervated	-	100.00
E.S.	16.88	83.12
laser	2.97	97.13

กลุ่ม denervated

จากการศึกษากล้ามเนื้อ Tibialis anterior ในหนูราบทูกตัว
เส้นประสาท sciatic ออกแล้วทั้งทิ้งไว้ 90 วัน จากหนูจำนวน 5 ตัว น้ำหนัก
หนูเฉลี่ย 403.40 ± 5.72 กรัม, น้ำหนักกล้ามเนื้อเฉลี่ย 0.17 ± 0.01 กรัม
เส้นรอบวงกล้ามเนื้อเฉลี่ย 0.98 ± 0.08 เซ็นติเมตร (จากตารางที่ 1)
ตัดชิ้นเนื้อตามขวางข้อมือด้วย H&E (รูปที่ 18) พบว่าลักษณะของเซลล์กล้ามเนื้อ[†]
จะเป็นลักษณะกลม (round) มากกว่าหลายเหลี่ยม (polygonal) เห็นช่องว่าง
ระหว่างเซลล์มาก นิวเคลียสในแต่ละเซลล์จะมองเห็น nucleoli หัวใจ
sarcolemmal nuclei จะมีลักษณะกลมใหญ่และอยู่ใกล้กัน จะมองเห็น[‡]
endomysial connective tissue ชัดเจน ขนาดของเซลล์กล้ามเนื้อมีขนาด
เล็กลงพบเซลล์ที่มีการฟอลิบจำนวนมาก และจากการข้อมูลนี้อีกด้วยเทคนิค[§]
ATPase pH 9.5 (รูปที่ 19) พบว่าลักษณะเซลล์ของกล้ามเนื้อจะพบทั้งลักษณะ
กลม (round) และเซลล์ที่มีการฟอลิบเล็กลงจนมองเห็นได้ยากในกล้องจุลทรรศน์
กำลังขยายตัว เซลล์พนทั้งหมดเป็น type II (จากตารางที่ 3) น้ำหนัก
เส้นผ่าศูนย์กลางเฉลี่ยเท่ากับ $9.40 \pm 2.16 \mu\text{m}$ (วัดจาก 1,000 เส้นใย)
(จากตารางที่ 2) ลักษณะการฟอลิบของเซลล์กระจายเท่าเทียมกันในทุกส่วนของ
ชิ้นเนื้อ



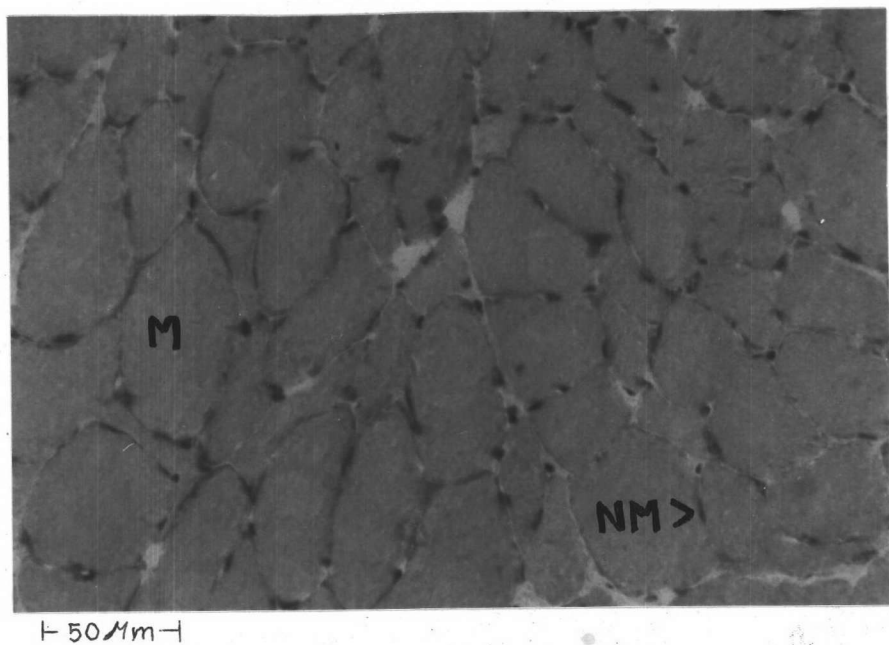
รูปที่ 18 ภาพตัดตามขวางของกล้ามเนื้อ Tibialis anterior ของหนู
กลุ่ม denervated ข้อมตัวย H&E x 40 M = muscle fiber
N.M = nucleus of muscle



รูปที่ 19 ภาพตัดตามขวางของกล้ามเนื้อ Tibialis anterior ของหนู
กลุ่ม denervated ข้อมตัวย ATPase pH 9.5 x 10
พยาธิสภาพ Type II

กลุ่ม E.S.

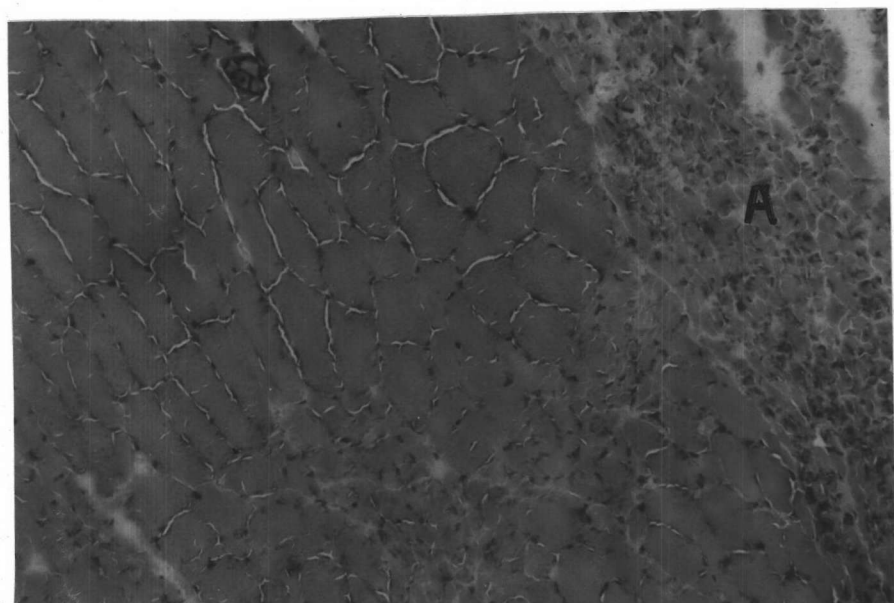
จากการศึกษากล้ามเนื้อ Tibialis anterior ในหนูแรกรที่ถูกตัดเส้นประสาท sciatic ออกแล้ว ทำการกระตุ้นกล้ามเนื้อด้วยไฟฟ้า กระตุ้น 1 วัน พัก 1 วัน ทั้งหมด 90 วัน จากหนูจำนวน 5 ตัว น้ำหนักตัวหนูเฉลี่ย 404.40 ± 9.37 กรัม น้ำหนักกล้ามเนื้อเฉลี่ย 0.40 ± 0.02 กรัม, เส้นรอบวงกล้ามเนื้อเฉลี่ย 2.16 ± 0.16 เซ็นติเมตร (จากตารางที่ 1) ตัดขึ้นเนื่องตามขาวงข้อมูล H&E (รูปที่ 20) พบรักษณะเซลล์ของกล้ามเนื้อมีหลายเหลี่ยม (polygonal) เซลล์เรียงชิดติดกัน พบซองว่างระหว่างเซลล์บาง นิวเคลียสแบบยาวอยู่ห่างกัน มีหนูบางตัวในกลุ่ม E.S. นี้ (ตัวที่ 4) บางกลุ่มเซลล์มีการฟอกสี ซึ่งส่วนใหญ่อยู่บริเวณขอบ ๆ ของขึ้นเนื้อแทรกปะปนอยู่ (รูปที่ 21) และจากการข้อมูลนี้เนื้อด้วยเทคนิค ATPase pH 9.5 (รูปที่ 22) จากหนูตัวที่ 1, 2, 3, 5 ในกลุ่ม E.S. นี้ เซลล์จะมีรักษณะหลายเหลี่ยม (polygonal) มีขนาดใหญ่กว่ากลุ่ม denervated พบเซลล์ทั้ง type I และ type II โดยพนจำนวนเส้นใยของ type I ทั้งหมด 16.88% จำนวนเส้นใยของ type II ทั้งหมด 83.12% (จากตารางที่ 3) โดยมีค่าเฉลี่ยของเส้นผ่าศูนย์กลางของ type I เท่ากับ $30.97 \pm 14.76 \mu\text{m}$ (วัดได้ทั้งหมด 719 เส้นใย, ค่าเฉลี่ยของเส้นผ่าศูนย์กลางของ type II เท่ากับ $34.68 \pm 3.98 \mu\text{m}$ (วัดจาก 1,000 เส้นใย) (จากตารางที่ 2) และจากหนูตัวที่ 4 ซึ่งได้ผลที่แตกต่างจากหนูตัวอื่น ๆ ในกลุ่มนี้ (จากรูปที่ 23) จะพบเซลล์ที่มีการฟอกสีเป็นกลุ่มใหญ่ ซึ่งแทรกปะปนกันอยู่ พบทั้ง type I และ type II และพบเซลล์ที่ติดสีเข้ม type II ที่มีขนาดใหญ่อยู่บริเวณตรงกลางของขึ้นเนื้อ



รูปที่ 20 ภาพตัดขวางของกล้ามเนื้อ Tibialis anterior ของหนุกกลุ่ม E.S.

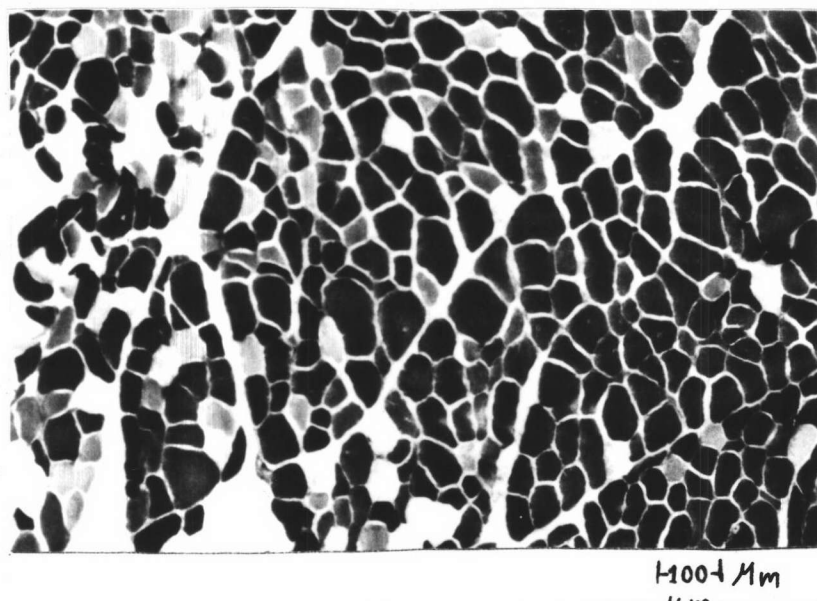
ข้อมูลด้วย H&E x 40 M = muscle fiber

N M = nucleus of muscle



รูปที่ 21 ภาพตัดขวางของกล้ามเนื้อ Tibialis anterior ของหนุกกลุ่ม E.S.

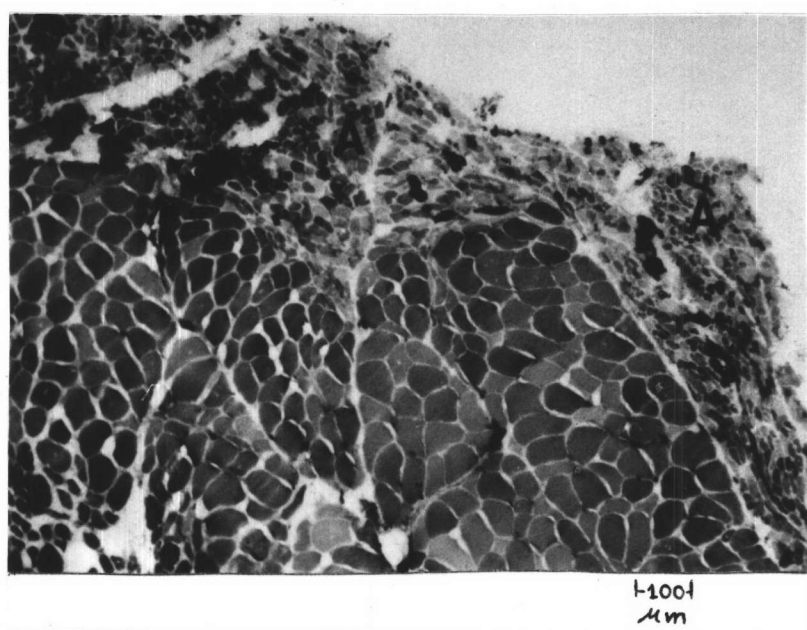
ตัวที่ 4 ข้อมูลด้วย H&E x 20 A = กลุ่มเซลล์ที่มีการฟอลล์บ



รูปที่ 22 ภาพตัดตามขวางของกล้ามเนื้อ Tibialis anterior ของหนุกกลุ่ม E.S.

ข้อมูลวิธี ATPase pH 9.5 x 10 สีขาว = type I

สีเท็ม = type II



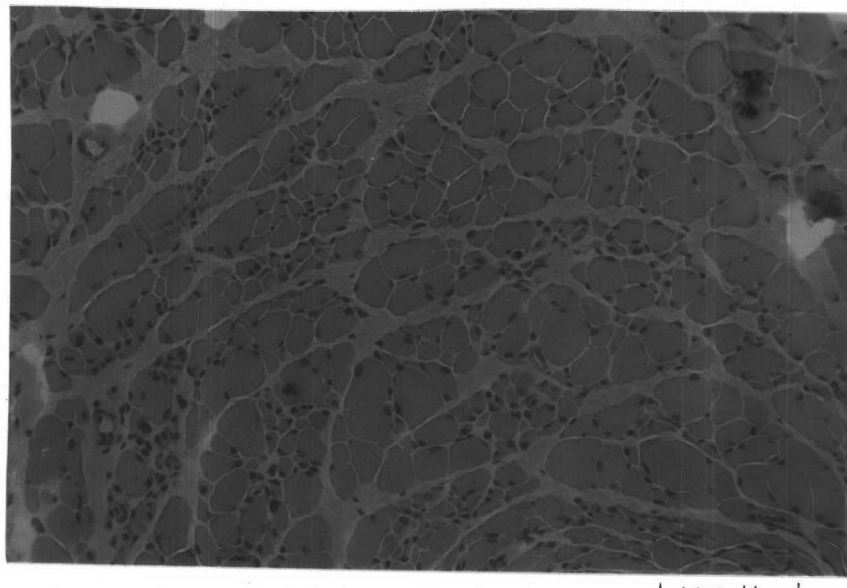
รูปที่ 23 ภาพตัดตามขวางของกล้ามเนื้อ Tibialis anterior ของหนุกกลุ่ม E.S.

ตัวที่ 4 ข้อมูลวิธี ATPase pH 9.5 x 10 A = กลุ่มเซลล์ที่มีการฟ่อเล็บ

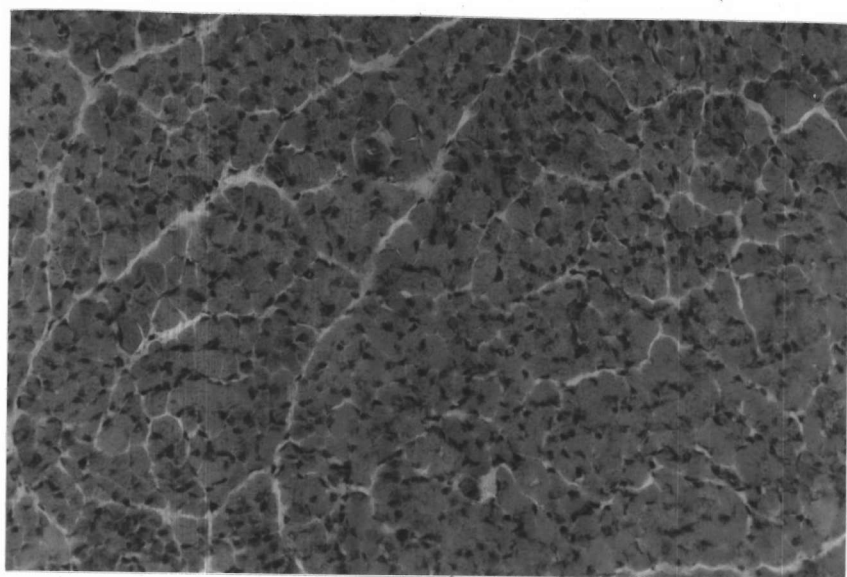
กลุ่ม laser

จากการศึกษากล้ามเนื้อ Tibialis anterior ในหนูราบที่ถูกตัดเส้นประสาท sciatic ออกแล้ว ทำการฉายแสงอินฟราเรดเลเซอร์โดยฉายแสง 1 วัน พัก 1 วัน ทั้งหมด 90 วัน จากหนูจำนวน 5 ตัว น้ำหนักตัวหนูเฉลี่ย 404.2 ± 9.73 กรัม น้ำหนักกล้ามเนื้อเฉลี่ย 0.17 ± 0.01 กรัม เส้นรอบวงกล้ามเนื้อเฉลี่ย 1.02 ± 0.04 เซ็นติเมตร (จากตารางที่ 1) ตัดชิ้นเนื้อตามขวางข้อมือด้วย H&E (รูปที่ 24) เชลล์กล้ามเนื้อจะมีลักษณะกลม (round) มากกว่าหลายเหลี่ยม (polygonal) มองเห็นช่องว่างระหว่างเชลล์มากขึ้น nuclei ชัดเจน พบรเชลล์ที่มีการฝอลิบจำานวนมาก โดยเฉพาะหนูตัวที่ 5 ของกลุ่มเลเซอร์ (รูปที่ 25) เชลล์จะฝอลิบลงอย่างมาก และจากการข้อมูลนี้ ด้วยเทคนิค ATPase pH 9.5 จากหนูตัวที่ 1, 3, 4 (รูปที่ 26, 27, 28) พบรเชลล์ที่มีลักษณะกลม (round) และเชลล์ที่มีลักษณะฝอลิบเล็กลงซึ่งมีจำานวนมากกว่าเชลล์ที่มีลักษณะกลม เชลล์ส่วนใหญ่ที่พบรเป็น type II จะติดสีเข้ม พบรเชลล์ type I ที่ติดสีจางน้ำงแต่น้อยมาก บริเวณตรงกลางของชิ้นเนื้อจะพบกลุ่มเชลล์ที่มีขนาดใหญ่ ซึ่งมีทั้ง type I และ type II อุ่นเล็กน้อย และจากหนูตัวที่ 5 ของกลุ่มนี้ (รูปที่ 29) พบรเชลล์กล้ามเนื้อที่มีการฝอลิบอย่างมาก จะพบเชลล์ type II ที่ติดสีเข้มเกือบทั้งหมด พบรเชลล์ type I ติดสีจางน้อยมาก เพียงไม่กี่เชลล์ ลักษณะการฝอลิบจะเท่าเทียมกันหมด และจากหนูตัวที่ 2 ของกลุ่มนี้ พบรลักษณะที่แตกต่างจากหนูตัวอื่นในกลุ่มเลเซอร์เดียวกัน (จากรูปที่ 30) เชลล์ที่พบรมีหลายขนาดปะปนอยู่ในบริเวณริม ๆ ของสไลด์ จะพบเชลล์ขนาดเล็กมากทั้ง type I และ type II และพบรเชลล์ขนาดใหญ่ ซึ่งมีจำานวนมากกว่าส่วนใหญ่เป็น type II สีเข้มบริเวณกลางของสไลด์ในกลุ่มนี้พบจำานวนเส้นไขข่อง type I ทั้งหมด 2.97% และจำานวนเส้นไขข่อง type II ทั้งหมด 97.13%

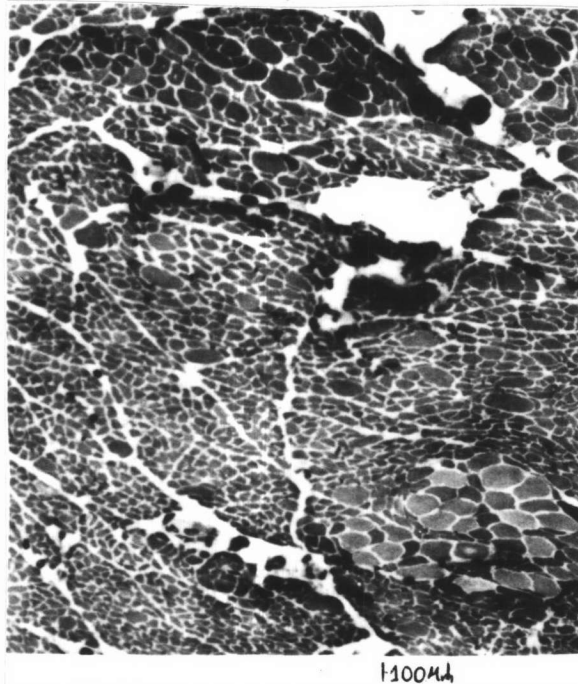
(จากตารางที่ 3) โดยมีค่าเฉลี่ยของเส้นผ่าศูนย์กลางของ type I เท่ากับ $15.91 \pm 1.88 \mu\text{m}$ (วัดได้ทั้งหมด 62 เส้นไข) ค่าเฉลี่ยของเส้นผ่าศูนย์กลางของ type II เท่ากับ $11.10 \pm 0.85 \mu\text{m}$ (วัดจาก 1,000 เส้นไข)
(จากตารางที่ 2)

 $\pm 100 \mu\text{m}$

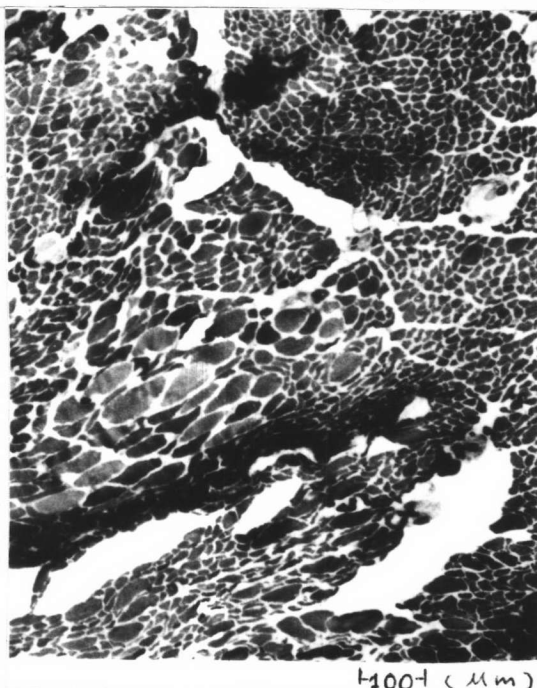
รูปที่ 24 ภาพตัดขวางของกล้ามเนื้อ Tibialis anterior ของหนุกกลุ่ม laser
ข้อมูลด้วย H&E x 20

 $\pm 100 \mu\text{m}$

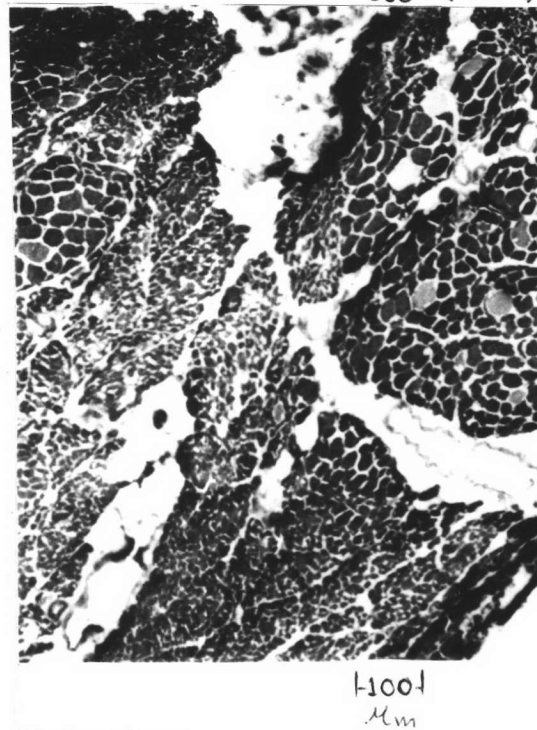
รูปที่ 25 ภาพตัดขวางของกล้ามเนื้อ Tibialis anterior ของหนุกกลุ่ม laser
ตัวที่ 5 ข้อมูลด้วย H&E x 20



รูปที่ 26



รูปที่ 27



รูปที่ 28

ภาพตัดขวางของกล้ามเนื้อ

Tibialis anterior

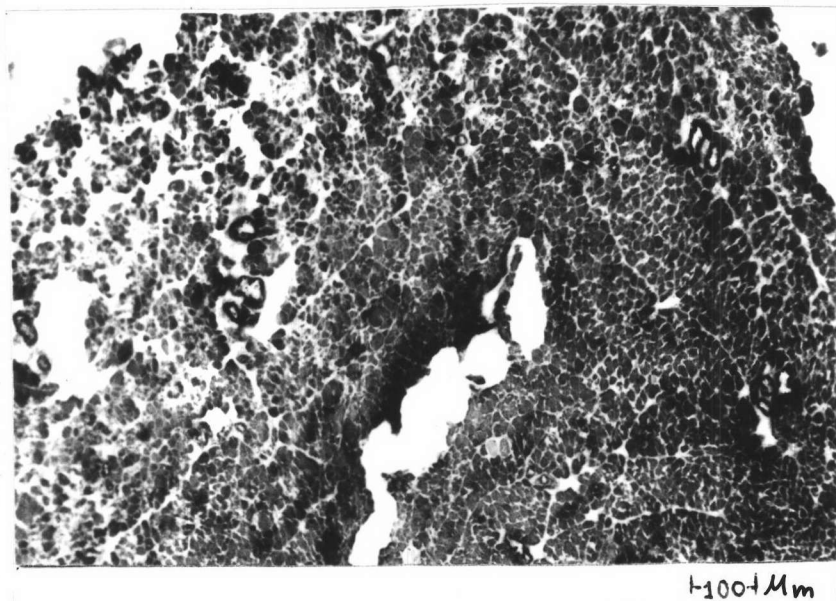
ของหนอกลุ่ม laser ข้อมือด้วย

ATPase pH 9.5 x 10

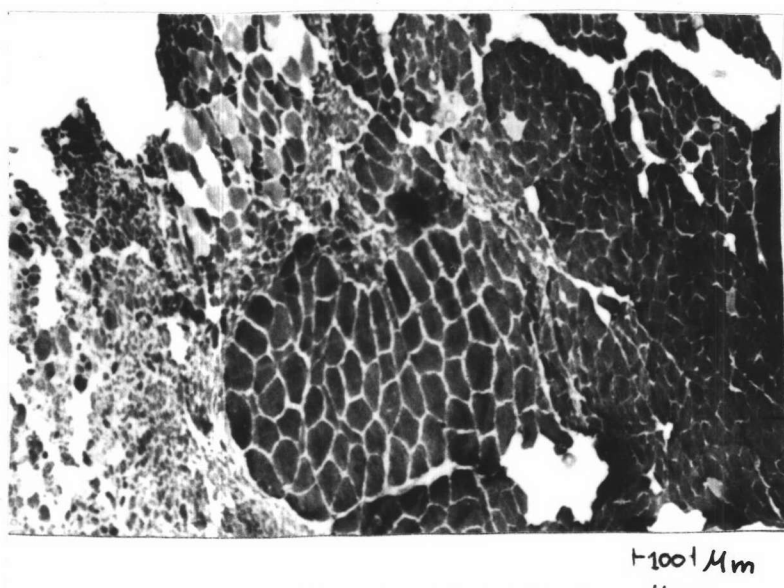
ภาพที่ 26 หนูตัวที่ 1

ภาพที่ 27 หนูตัวที่ 3

ภาพที่ 28 หนูตัวที่ 4



รูปที่ 29 ภาพตัดขวางของกล้ามเนื้อ Tibialis anterior ของหนุกสูบ laser
ตัวที่ 5 ข้อมด้วย ATPase pH 9.5 x 10



รูปที่ 30 ภาพตัดขวางของกล้ามเนื้อ Tibialis anterior ของหนุกสูบ laser
ตัวที่ 2 ข้อมด้วย ATPase pH 9.5 x 10